

## РАЗЛОЖЕНИЕ ГИНЗБУРГА – ЛАНДАУ И НАКЛОН ВЕРХНЕГО КРИТИЧЕСКОГО ПОЛЯ В НЕУПОРЯДОЧЕННЫХ СВЕРХПРОВОДНИКАХ

*А.И.Посаженикова, М.В.Садовский<sup>1)</sup>*

*Институт электрофизики УрО РАН  
620049 Екатеринбург, Россия*

Поступила в редакцию 15 декабря 1995 г.

После переработки 31 января 1996 г.

Показано, что наклон верхнего критического поля  $|dH_{c2}/dT|_{T_c}$  в сверхпроводниках с  $d$ -спариванием быстро падает с ростом концентрации нормальных примесей, тогда как в сверхпроводниках с анизотропным  $s$ -спариванием  $|dH_{c2}/dT|_{T_c}$  растет, выходя на известную асимптотику, характерную для изотропного случая. Такое отличие, в принципе, позволяет использовать измерения  $H_{c2}$  в неупорядоченных сверхпроводниках в качестве экспериментального метода определения типа спаривания в ВТСП и системах с тяжелыми фермионами.

PACS 74.20.Fg, 74.20.De

Основной проблемой физики ВТСП систем в настоящее время является определение типа куперовского спаривания. Целый ряд экспериментов и теоретических моделей [1] указывает на реализацию в них анизотропного спаривания  $d_{x^2-y^2}$ -типа с нулями щели на поверхности Ферми. В то же время, существующие эксперименты не противоречат и так называемому анизотропному  $s$ -спариванию, следующему из некоторых теоретических моделей [2,3], и также приводят к нулям щели (без смены знака) или ее минимумам на поверхности Ферми в тех же направлениях в зоне Бриллюэна, что и в случае  $d$ -спаривания.

В появившихся недавно работах [4,5] было отмечено, что контролируемое введение нормальных примесей (разупорядочение) может оказаться эффективным методом экспериментального различения упомянутых выше типов анизотропного спаривания. Оказалось, что разупорядочение приводит к принципиально различному поведению плотности состояний в этих типах сверхпроводников. В частности, сверхпроводник с  $d$ -спариванием всегда остается бесщелевым, тогда как в сверхпроводнике с анизотропным  $s$ -спариванием с исходно существовавшими нулями щели малое разупорядочение приводит к появлению конечной щели на всей поверхности Ферми.

Измерения щели, тем более в определенных направлениях в импульсном пространстве, являются достаточно трудоемкими. Целью настоящей работы является демонстрация того обстоятельства, что гораздо более простые, в принципе, измерения верхнего критического поля  $H_{c2}$  при различных степенях разупорядочения также могут эффективно различать сверхпроводники  $d$ -типа от сверхпроводников с анизотропным  $s$ -спариванием. Обсуждаемая проблема актуальна также и для сверхпроводников с тяжелыми фермионами.

В дальнейшем, следуя [4,5], мы рассмотрим двумерную электронную систему с изотропной поверхностью Ферми и сепарабельным потенциалом куперовского

<sup>1)</sup>e-mail: sadovski@ief.intec.ru

спаривания вида

$$V(\phi, \phi') = -V\eta(\phi)\eta(\phi'), \quad (1)$$

где  $\phi$  – полярный угол, определяющий направление электронного импульса в плоскости, а для  $\eta(\phi)$  принимается модельная зависимость:

$$\eta(\phi) = \begin{cases} \cos(2\phi) & (d\text{-спаривание}) \\ |\cos(2\phi)| & (\text{анизотропное } s\text{-спаривание}) \end{cases}. \quad (2)$$

Константа притяжения  $V$  считается, как обычно, отличной от нуля в слое шириной  $2\omega_c$  в окрестности уровня Ферми ( $\omega_c$  – характерная частота квантов, обеспечивающих притяжение электронов). В этом случае сверхпроводящая щель (параметр порядка) имеет вид  $\Delta(\phi) = \Delta\eta(\phi)$ , причем положения нулей щели на поверхности Ферми для  $s$ - и  $d$ -случаев просто совпадают.

Уравнения теории БКШ в примесном сверхпроводнике выводятся стандартным образом [6]. Линеаризованное уравнение для щели, определяющее температуру перехода  $T_c$ , имеет вид

$$\Delta(\phi) = -N(0)T_c \sum_{\omega_n} \int_{-\infty}^{\infty} d\xi \int_0^{2\pi} \frac{d\phi'}{2\pi} V(\phi, \phi') \frac{\bar{\Delta}(\phi')}{\bar{\omega}_n^2 + \xi^2}, \quad (3)$$

где

$$\bar{\Delta}(\phi) = \begin{cases} \Delta\eta(\phi) & (d\text{-спаривание}) \\ \Delta(\eta(\phi) + 2\gamma/\pi|\omega_n|) & (\text{анизотропное } s\text{-спаривание}) \end{cases}. \quad (4)$$

$\bar{\omega}_n = \omega_n + \gamma \text{sign}(\omega)$ ,  $\gamma = \pi\rho V_0^2 N(0)$  – борновское затухание электронов за счет рассеяния на нормальных примесях с точечным потенциалом  $V_0$  и случайно распределенных в пространстве с концентрацией  $\rho$ ,  $N(0)$  – плотность состояний на уровне Ферми,  $\xi$  – энергия электрона, отсчитанная от уровня Ферми,  $\omega_n = (2n + 1)\pi T_c$ .

После традиционного анализа уравнение для  $T_c$  сводится к [4,5]

$$\ln \left( \frac{T_{c0}}{T_c} \right) = \alpha \left[ \Psi \left( \frac{1}{2} + \frac{\gamma}{2\pi T_c} \right) - \Psi \left( \frac{1}{2} \right) \right], \quad (5)$$

где  $\alpha = 1$  для случая  $d$ -спаривания и  $\alpha = (1 - 8/\pi^2)$  для анизотропного  $s$ -спаривания,  $T_{c0}$  – температура перехода в отсутствие примесей,  $\Psi(x)$  – логарифмическая производная  $\Gamma$ -функции. Соответствующие зависимости  $T_c(\gamma/T_{c0})$  приведены на рис.1. В случае  $d$ -спаривания  $T_c$  полностью подавляется при  $\gamma = \gamma_c \approx 0.88T_{c0}$ . В анизотропном  $s$ -случае зависимость  $T_c(\gamma)$  гораздо слабее, при  $\gamma \gg T_{c0}$  имеем  $T_c \sim T_{c0}[1 - \alpha \ln(\gamma/\pi T_{c0})]$ . К сожалению, измерения  $T_c$  являются недостаточными для определения типа спаривания, поскольку в реальных экспериментах температура перехода, как правило, достаточно сильно зависит от беспорядка из-за соответствующей зависимости в механизме спаривательного взаимодействия. В частности, хорошо известно, что в ВТСП системах происходит достаточно быстрое подавление  $T_c$  с разупорядочением, однако совершенно неясно, связано ли это с реализацией в этих системах  $d$ -спаривания или с другими причинами, играющими роль и в  $s$ -случае [7].

Характеристики системы, определяемые феноменологическими уравнениями Гинзбурга – Ландау, гораздо менее чувствительны к деталям микроскопического механизма спаривания. Разложение Гинзбурга – Ландау для разности

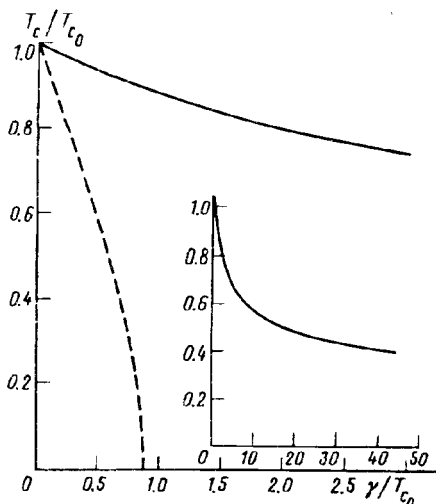


Рис.1. Зависимость температуры перехода  $T_c$  от параметра беспорядка  $\gamma/T_{c0}$ . Штриховая линия – зависимость для случая  $d$ -спаривания, сплошная – для случая анизотропного  $s$ -спаривания. На вставке – та же кривая для  $s$ -спаривания, но в более широком интервале значений параметра  $\gamma/T_{c0}$ .

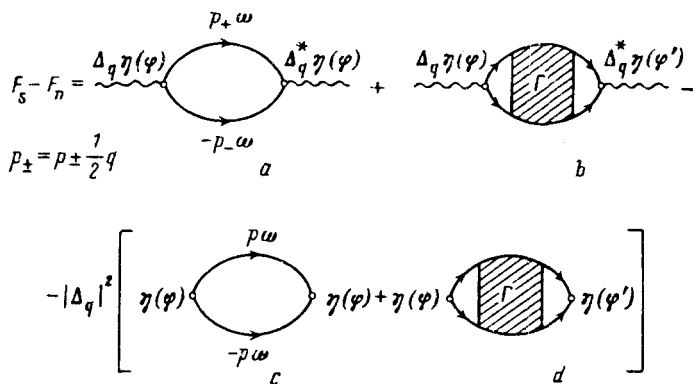


Рис.2. Графическое представление разложения Гинзбурга – Ландау. Электронные линии "одеты" примесным рассеянием.  $\Gamma$  – верхняя часть примесного рассеяния, вычисляемая в лестничном приближении. Диаграммы (c) и (d) вычисляются при  $q = 0$  и  $T = T_c$ .

свободных энергий сверхпроводящего и нормального состояний с точностью до членов, квадратичных по  $\Delta_q$ ,

$$F_s - F_n = A|\Delta_q|^2 + q^2 C|\Delta_q|^2, \quad (6)$$

определяется графиками петлевого разложения для свободной энергии электронов в поле флуктуаций параметра порядка с малым волновым вектором  $q$ , показанными на рис.2. Диаграммы (c) и (d) обеспечивают обращение в нуль коэффициента  $A$  в точке перехода  $T = T_c$ . Все вычисления проводятся стандартным образом, заметим только, что для случая  $d$ -спаривания вклад диаграмм (b) и (d) фактически исчезает с точностью до членов порядка  $q^4$ . В итоге, коэффициенты разложения Гинзбурга – Ландау представляются в виде

$$A = A_0 K_A, \quad C = C_0 K_C, \quad (7)$$

где через  $A_0$  и  $C_0$  обозначены обычные выражения для случая изотропного  $s$ -спаривания [8]:

$$A_0 = N(0) \frac{T - T_c}{T_c}, \quad C_0 = N(0) \frac{7\zeta(3)v_F^2}{48\pi^2 T_c^2}; \quad (8)$$

здесь  $v_F$  – скорость электронов на поверхности Ферми, а все особенности рассматриваемых моделей содержатся в безразмерных коэффициентах  $K_A$  и  $K_C$ . В отсутствие примесей в обеих моделях имеем  $K_A^0 = 1/2$ ,  $K_C^0 = 3/4$ . В системе с примесями получаем:

А)  $d$ -спаривание:

$$K_A = \frac{1}{8T_c} \int_{-\omega_c}^{\omega_c} \frac{d\xi}{\xi} \int_{-\infty}^{\infty} \frac{d\omega}{\pi} \frac{\omega + \xi}{\text{ch}^2[(\omega + \xi)/2T_c]} \frac{\gamma}{\omega^2 + \gamma^2}, \quad (9)$$

$$K_C = -\frac{3}{56\zeta(3)} \Psi'' \left( \frac{1}{2} + \frac{\gamma}{2\pi T_c} \right); \quad (10)$$

Б) анизотропное  $s$ -спаривание:

$$K_A = \frac{\gamma}{\pi T_c} \left\{ \frac{1}{8} \int_{-\omega_c}^{\omega_c} \frac{d\xi}{\xi} \int_{-\infty}^{\infty} d\omega \frac{\omega + \xi}{\text{ch}^2[(\omega + \xi)/2T_c]} (\omega^2 + \gamma^2) + \right. \\ \left. + \frac{\gamma}{\pi} \int_{-\infty}^{\infty} d\omega \frac{1}{\text{ch}^2(\omega/2T_c)} (\omega^2 + \gamma^2) \right\}, \quad (11)$$

$$K_C = -\frac{3\alpha}{56\zeta(3)} \Psi'' \left( \frac{1}{2} + \frac{\gamma}{2\pi T_c} \right) + \frac{24}{7\zeta(3)} \frac{T_c^2}{\alpha\gamma^2} \ln \left( \frac{T_c}{T_{c0}} \right) + \frac{6\pi}{7\zeta(3)} \frac{T_c}{\gamma}. \quad (12)$$

С учетом (5) все коэффициенты являются универсальными функциями отношения  $\gamma/T_{c0}$ . Соответствующие зависимости приведены на рис.3,4. Заметим, что во всех выражениях для коэффициентов механизм спаривания определяет лишь величину  $T_{c0}$ .

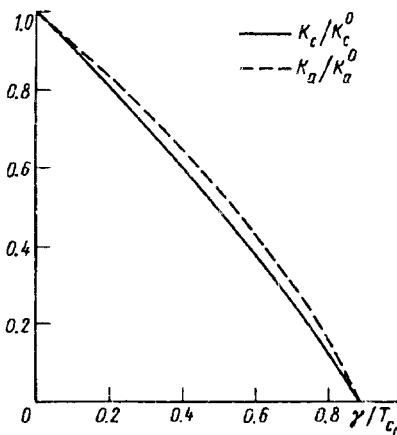


Рис.3. Зависимость безразмерных коэффициентов Гинзбурга – Ландау от параметра беспорядка  $\gamma/T_{c0}$ . Случай  $d$ -спаривания

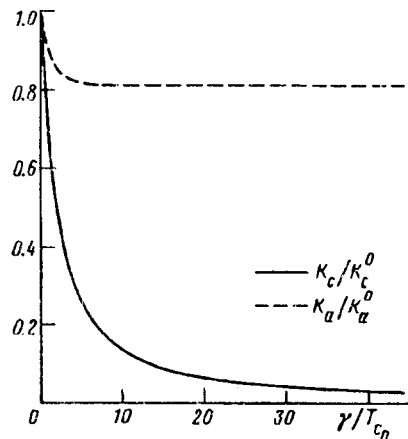


Рис.4. Зависимость безразмерных коэффициентов Гинзбурга – Ландау от параметра беспорядка  $\gamma/T_{c0}$ . Случай анизотропного  $s$ -спаривания

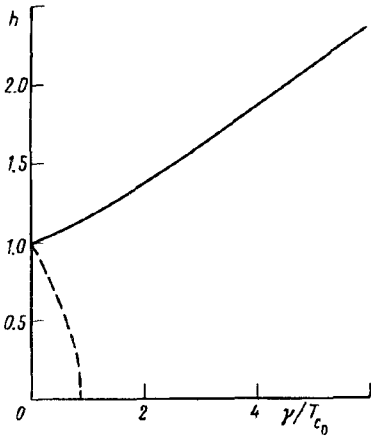


Рис.5. Зависимость нормированного наклона кривой верхнего критического поля  $h = \left| \frac{dH_{c2}}{dT} \right|_{T_c} / \left| \frac{dH_{c2}}{dT} \right|_{T_{c0}}$  от параметра беспорядка  $\gamma/T_{c0}$ . Штриховая линия – зависимость для случая  $d$ -спаривания, сплошная – для случая анизотропного  $s$ -спаривания

Вблизи  $T_c$  верхнее критическое поле  $H_{c2}$  определяется из (9):

$$H_{c2} = -\frac{\phi_0 A}{2\pi C}, \quad (13)$$

где  $\phi_0 = c\pi/e$  – квант магнитного потока. Тогда наклон верхнего критического поля вблизи  $T_c$

$$\left| \frac{dH_{c2}}{dT} \right|_{T_c} = \frac{24\pi\phi_0}{7\zeta(3)v_F^2} T_c \frac{K_A}{K_C}. \quad (14)$$

Зависимость  $\left| \frac{dH_{c2}}{dT} \right|_{T_c}$  от параметра  $\gamma/T_{c0}$  для обеих моделей спаривания приведена на рис.5. Видим, что в случае  $d$ -спаривания наклон  $H_{c2}$  быстро уменьшается до нуля на масштабе  $\gamma \sim T_{c0}$ . В случае анизотропного  $s$ -спаривания, напротив, наклон растет с ростом разупорядочения и после переходной области  $\gamma \sim T_{c0}$  выходит на линейное поведение  $\left| \frac{dH_{c2}}{dT} \right|_{T_c} \sim \gamma$ , характерное для обычных "грязных" сверхпроводников с изотропным  $s$ -спариванием [9], причем выполняется известное соотношение Горькова:

$$\frac{\sigma}{N(0)} \left| \frac{dH_{c2}}{dT} \right|_{T_c} = \frac{8e^2}{\pi^2} \phi_0, \quad (15)$$

где  $\sigma = N(0)e^2v_F^2/3\gamma$  – проводимость нормальной фазы, экстраполированная на  $T=0$ . Таким образом, в "грязном" пределе  $\gamma \gg T_{c0}$  происходит полная изотропизация системы, что видно из соответствующей асимптотике коэффициентов разложения Гинзбурга – Ландау.

По нашему мнению, найденное отличие в поведении  $\left| \frac{dH_{c2}}{dT} \right|_{T_c}$  может служить достаточно простым критерием, с помощью которого можно экспериментально различить сверхпроводники с  $d$ -спариванием от анизотропных  $s$ -сверхпроводников. К сожалению, в случае ВТСП систем положение осложняется известной нелинейностью зависимости  $H_{c2}$  от температуры, которая наблюдается в достаточно широкой области  $T_c$ . В настоящее время природа этой нелинейности неясна; возможно, что она связана с неоднородностью изучаемых образцов, однако нельзя исключить и ее более фундаментальной природы.

Работа выполнена в рамках проекта 93-001 Государственной программы по ВТСП и при частичной поддержке по гранту Российского фонда фундаментальных исследований 93-02-2066 и гранту Международного научного фонда Сороса RGL300. Авторы признательны указанным фондам за поддержку их работ.

- 
1. D.Pines, *Physica C* **235-240**, 113 (1994).
  2. S.Chakravarty, A.Subdø, P.W.Anderson, and S.Strong, *Science* **261**, 337 (1993).
  3. A.I.Liechtenstein, I.I.Mazin, and O.K.Andersen, *Phys. Rev. Lett.* **74**, 2303 (1995).
  4. L.S.Borkovski and P.J.Hirschfeld, *Phys. Rev.* **B49**, 15404 (1994).
  5. R.Fehrenbacher and M.R.Norman, *Phys. Rev.* **B50**, 3495 (1994).
  6. А.А.Абрикосов, Л.П.Горьков, И.Е.Дзялошинский, *Методы квантовой теории поля в статистической физике*, М.: Физматгиз, 1963.
  7. М.В.Садовский, *СФХТ* **8**, (3) (1995).
  8. П.Де Жен, *Сверхпроводимость металлов и сплавов*, М.: Мир, 1968.
  9. Л.П.Горьков, *ЖЭТФ* **37**, 1407 (1959).